

УДК 531.8

© 1990 г.

И. В. НОВОЖИЛОВ, А. В. ПАНШИНА

КИНЕМАТИЧЕСКАЯ ИЗБЫТОЧНОСТЬ КОНЕЧНОСТЕЙ И ЭНЕРГОЗАТРАТЫ ЧЕТЫРЕХНОГОЙ ХОДЬБЫ

Оптимизации энергозатрат шагающих аппаратов посвящена обширная литература (см., например¹; [1-3]). При этом кинематическая схема конечности обычно берется двухзвенной, трехшарнирной, что минимально возможным образом обеспечивает свободу выбора опорной точки относительно корпуса. Однако известно², [4, 5], что в скелете конечности животного выделяется до семи отдельных звеньев. Известно также [5, 6], что относительные размеры звеньев конечностей резко отличаются для «крупных» и «мелких» животных. Цель работы — установить связь этих особенностей строения конечностей животных с их энергозатратами на передвижение.

1. Математическая модель. Рассмотрим (фиг. 1) пространственную модель четырехногого шагающего аппарата или животного. Моделью учитываются три основных звена скелета конечности животных [5, 6]: плечо, предплечье, пястная кость — для грудной конечности; бедро, голень, стопа — для тазовой. Длины звеньев, отсчитывая от корпуса, обозначим через L_1, L_2, L_3 . Левые переднюю и заднюю по ходу движения ноги обозначим нечетными номерами 1 и 3, правые — четными номерами 2 и 4. Верхнее звено соединяется с корпусом при помощи двухстепенного шарнира, как указано на фиг. 1. Друг с другом звенья соединяются в плоскости ноги одностепенными шарнирами. Размерами шарниров пренебрегаем. Опорная поверхность — горизонтальная плоскость. Нога опирается на нее в точке. Ноги к корпусу крепятся в вершинах прямоугольника длиной $2L$, шириною $2D$. На пересечении диагоналей прямоугольника лежит центр масс корпуса C . Ноги считаются безынерционными.

Введем неподвижную систему отсчета $OXYZ$, в которой описывается движение при данном наборе опорных ног. Ее оси X, Z лежат в опорной плоскости, ось X направлена по ходу движения, ось Z проходит через переднюю точку опоры ноги. Введем трехгранник главных центральных осей корпуса $CX_0Y_0Z_0$. Предположим, что его оси совпадают с осями симметрии прямоугольника точек крепления ног к корпусу.

Зададим положение корпуса координатами центра масс X_c, Y_c, Z_c и углами курса ψ , тангажа θ , крена γ между трехгранниками $X_0Y_0Z_0$ и XYZ .

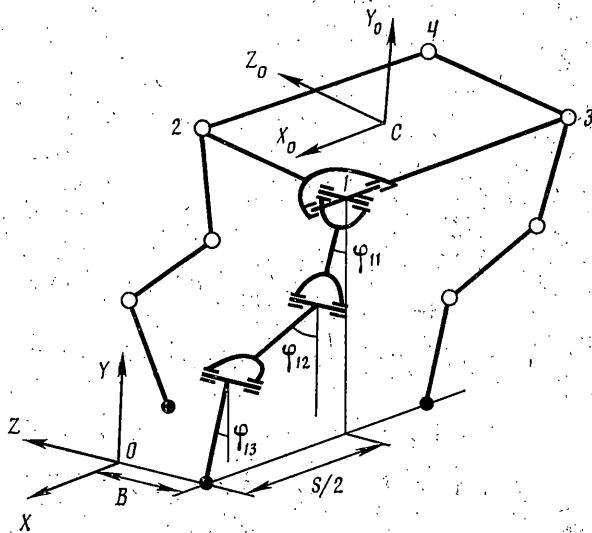
Положение i -ой ноги зададим углом φ_{i0} между плоскостью ноги и сагиттальной плоскостью CX_0Y_0 корпуса. В плоскости ноги положение ее звеньев зададим углами $\varphi_{i1}, \varphi_{i2}, \varphi_{i3}$ (фиг. 1), которые отсчитываются от нисходящих перпендикуляров к линии пересечения плоскости ноги с опорной плоскостью.

Далее будут рассматриваться только двухопорные аллюры — иноходь и рысь. При этом в качестве программного может быть выбрано движение [7]:

$$X_c = V, \quad Y_c = H, \quad Z_c = 0, \quad \psi = \theta = 0 \quad (1.1)$$

¹ Белецкий В. В., Болотин Ю. В. Энергетика пространственной двуногой ходьбы: Препринт № 118. М.: ИПМ им. М. В. Келдыша АН СССР. 1981. 28 с.; Охцимский Д. Е., Плагонов А. К., Лапшин В. В. Исследование энергетики движения шестиногого шагающего аппарата: Препринт № 96. М.: ИПМ им. М. В. Келдыша АН СССР. 1981. 27 с.

² Коток В. С. К вопросу о кинематике суставов задней конечности млекопитающих // Структура и биомеханика скелетно-мышечной и сердечно-сосудистой систем позвоночных: Тез. докл. Респ. конф. Киев, 1984, Киев: Наук. думка, 1984. С. 57-59.



Фиг. 1

В [7-10]³ показано, что можно организовать «жесткое» управление по рассогласованиям от (1.1), которое реализует это программное движение с любой точностью. При этом задачу можно рассматривать в полуобратной постановке, считая (1.1) сервосвязями, наложенными на систему.

Рассмотрим установившееся циклическое движение двухопорными аллюрами иноходь и рысь. Считаем, что смена опорных ног происходит мгновенно. Обозначим через S длину шага (перемещение центра масс C за время шага). Постановка каждой ноги производится с продольным выносом $S/2$ относительно точки крепления к корпусу и боковым выносом B относительно оси OX (фиг. 1).

Уравнения движения системы по сервосвязям (1.1) составим в форме уравнений количества движения и кинетического момента.

Для движения иноходью, в фазе опоры на односторонние, например, $i=1, 3$, ноги, имеем

$$\begin{aligned}
 0 &= R_{1x} + R_{3x}, \quad 0 = R_{1y} + R_{3y} - Mg, \quad 0 = R_{1z} + R_{3z} \\
 MP^2 \ddot{\gamma} &= B(R_{1y} + R_{3y}) - H(R_{1z} + R_{3z}) \\
 0 &= -B(R_{1x} + R_{3x}) - R_{1z}(L - X_1) + R_{3z}(L + X_1) \\
 0 &= R_{1y}(L - X_1) - R_{3y}(L + X_1) + (R_{1x} + R_{3x})Y_1 \\
 X_1 &= -S/2 + VT, \quad Y_1 = H - D\gamma
 \end{aligned} \tag{1.2}$$

Здесь точкой обозначено дифференцирование по времени T ; R_{ix} , R_{iy} , R_{iz} — проекции реакции i -ой ноги в опорной точке; X_1 , Y_1 — координаты точки подвеса ноги $i=1$ в системе XYZ ; M — масса корпуса; P — его центральный радиус инерции относительно оси CX_0 ; угол γ считается малым.

Система (1.2) статически не определена. Поскольку движение корпуса происходит с постоянной продольной скоростью, то естественно доопределить (1.2) условием

$$R_{1x} = R_{3x} = 0 \tag{1.3}$$

Перейдем в (1.2), (1.3) к безразмерным величинам (g — ускорение свободного падения).

$$\begin{aligned}
 t &= T/T^*, \quad x = X/L^*, \dots, \quad l_i = L_i/L^*, \dots, \quad \rho = P/L^* \\
 s &= S/L^*, \quad d = D/L^*, \quad h = H/L^*, \quad b = B/L^*, \quad v = V/V^*, \quad r_{ix} = R_{ix}/R^*, \dots \\
 T^* &= (L/g)^{1/2}, \quad L^* = L, \quad R^* = Mg, \quad V^* = L^*/T^*
 \end{aligned}$$

³ Новожилов И. В. Управление ногой шагающего аппарата в фазе опоры // Биомеханика. Тр. Рижск. п.-и. ин-та травматологии и ортопедии. 1975. Т. 13. С. 634-639.

Получим из (1.2), (1.3):

$$\gamma'' = b/\rho^2, \quad r_{1Y} = (1-s/2+vt)/2, \quad r_{3Y} = (1+s/2-vt)/2 \quad (1.4)$$

Здесь штрихом обозначено дифференцирование по безразмерному времени t .

По первому уравнению из (1.4) легко построить периодическое по γ движение, которое обеспечивается при смене пары опорных ног через время шага $t_0 = T_0/T_*$. Это движение реализуется, если для опорной пары $i=1, 3$ начальными условиями будут

$$\gamma_0 = 0, \quad \gamma_0' = -bs/2v\rho^2 \quad (1.5)$$

Движение рысью, в фазе опоры на диагональные ($i=1, 4$) ноги, описывается уравнениями

$$\begin{aligned} 0 &= r_{1X} + r_{4X}, \quad 0 = r_{1Y} + r_{4Y} - 1, \quad 0 = r_{1Z} + r_{4Z} \\ \rho^2 \gamma'' &= b(r_{1Y} - r_{4Y}) - h(r_{1Z} + r_{4Z}) \\ 0 &= b(-r_{1X} + r_{4X}) - r_{1Z}(1+s/2-vt) + r_{4Z}(1-s/2+vt) \\ 0 &= r_{1Y}(1+s/2-vt) - r_{4Y}(1-s/2+vt) + y_1(r_{1X} + r_{4X}) \\ y_1 &= h - d\gamma \end{aligned} \quad (1.6)$$

Доопределим систему (1.6) условием вида (1.3). Тогда из (1.6) получим

$$\gamma'' = b(-s/2+vt)/\rho^2 \quad (1.7)$$

$$r_{1Y} = (1-s/2+vt)/2, \quad r_{4Y} = (1+s/2-vt)/2$$

Движение по γ — периодическое, если для опорной пары $i=1, 4$ начальными условиями будут

$$\gamma_0 = bs^2/(24v^2\rho^2), \quad \gamma_0' = 0 \quad (1.8)$$

Обозначим через Q_{ij} момент управления в j -ом шарнире i -ой ноги, приняв здесь такую же индексацию, как для введенных выше φ_{ij} . Моменты управления переносимыми ногами равны нулю, т. к. ноги безынерционные. Введем безразмерные величины $q_{ij} = Q_{ij}/MgL$. Их выражения могут быть получены из уравнений квазистатического равновесия для безынерционных опорных ног. Для малых γ получим в случае:

иноходи ($i=1, 3$):

$$\begin{aligned} q_{i0} &= r_{iY}(d-b) \\ q_{i1} &= -r_{iX}(l_1 \sin \varphi_{i1} + l_2 \sin \varphi_{i2} + l_3 \sin \varphi_{i3}) \times \\ &\quad \times (\cos \varphi_{i0} - \gamma \sin \varphi_{i0}) \\ q_{i2} &= -r_{iY}(l_2 \sin \varphi_{i2} + l_3 \sin \varphi_{i3})(\cos \varphi_{i0} - \gamma \sin \varphi_{i0}) \\ q_{i3} &= -r_{iX}l_3 \sin \varphi_{i3}(\cos \varphi_{i0} - \gamma \sin \varphi_{i0}) \end{aligned} \quad (1.9)$$

для рыси ($i=1, 4$)

$$\begin{aligned} q_{i0} &= r_{iY}(d-b), \quad q_{i40} = -r_{4Y}(d-b) \\ q_{i1} &= -r_{iX}(l_1 \sin \varphi_{i1} + l_2 \sin \varphi_{i2} + l_3 \sin \varphi_{i3}) \times \\ &\quad \times (\cos \varphi_{i0} - \gamma \sin \varphi_{i0}) \\ q_{i2} &= -r_{iY}(l_2 \sin \varphi_{i2} + l_3 \sin \varphi_{i3})(\cos \varphi_{i0} - \gamma \sin \varphi_{i0}) \\ q_{i3} &= -r_{iX}l_3 \sin \varphi_{i3}(\cos \varphi_{i0} - \gamma \sin \varphi_{i0}) \end{aligned} \quad (1.10)$$

Удельные энергозатраты E на один шаг в процессе установившейся ходьбы будем оценивать линейной комбинацией двух общепринятых [1—

$$E = k_s E_s + k_d E_d \quad (1.11)$$

$$E_s = \int_0^{T_0} \sum_{i,j} Q_{ij}^2 dT, \quad E_d = \int_0^{T_0} \sum_{i,j:Q_{ij}>0} Q_{ij} \omega_{ij} dT \quad (1.12)$$

k_s, k_d — весовые коэффициенты статической E_s и динамической E_d составляющих энергозатрат; $T_0 = S/V$ — время шага; ω_{ij} — относительная угловая скорость звеньев в j -ом шарнире i -ой ноги. При вычислении E_d вместо $Q_{ij} \omega_{ij} < 0$ берется нуль, что соответствует «приводу без рекуперации».

Подставим в (1.12) явные выражения для ω_{ij} . Перейдем к безразмерным величинам, приняв дополнительно $e_d = E_d/E_{d*}$, $e_s = E_s/E_{s*}$, $e = E/E_{d*}$. Здесь $E_{d*} = MgL$, $E_{s*} = M^2 g^{3/2} L^{5/2}$. Предположим, что массовая плотность η животных не зависит от их размеров. Тогда $E_{d*} = \eta g L^4$, $E_{s*} = \eta^2 g^{3/2} L^{7/2}$ и выражения (1.11), (1.12) примут вид

$$e = k_d (e_d + \varepsilon \kappa e_s) \quad (1.13)$$

$$\varepsilon = E_{s*}/E_{d*} = \eta g^{1/2} L^{3/2}, \quad \kappa = k_s/k_d$$

$$e_d = \int_0^{t_0} \sum_{i,j:q_{ij}>0} [q_{i0}(\varphi_{i0}' - \gamma') + q_{i1}\varphi_{i1}' + q_{i2}(\varphi_{i2}' - \varphi_{i1}') + q_{i3}(\varphi_{i3}' - \varphi_{i2}')] dt,$$

$$e_s = \int_0^{t_0} \sum_{i,j} q_{ij}^2 dt \quad (1.14)$$

Коэффициент ε геометрического подобия сильно зависит от размеров животного. При изменении L от 0,35 м (характерный размер собаки, косули) до 1,7 м (характерный размер слона) величина ε возрастает на три — четыре десятичных порядка. Коэффициент κ определяется физиологией мышц, учитывает отступления от геометрического подобия для различных животных и т. д. Примем допущение о том, что зависимость коэффициента κ от L более слабая, чем у коэффициента ε . Предположим, что в рассматриваемом диапазоне изменения L критерий (1.11) универсален для животных всех размеров и не может быть сведен к одному из его слагаемых — $k_d E_d$ или $k_s E_s$. Отсюда вытекает, что энергетика мелких животных (собака, косуля, ...) оценивается, главным образом, динамической частью критерия, а крупных (бык, слон, ...) — его статической частью.

Следует заметить, что для антропоморфной модели двуногой ходьбы в [1] показано, что при больших скоростях движения существен учет инерционности ног. Оценка этого обстоятельства для массинерционных характеристик конечностей мелких животных требует дополнительного исследования.

2. Доопределение кинематической избыточности. Выражения для ψ_{jj}' входящие в (1.14), и φ_{ij} , входящие в (1.9), (1.10), вычисляются следующим образом. Составим соотношения, связывающие координаты центра масс корпуса с φ_{ij}

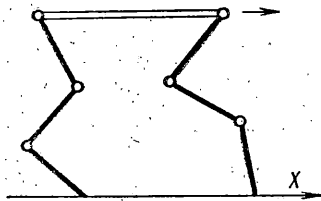
$$\begin{aligned} x_c &= -1 - l_1 \sin \varphi_{i1} - l_2 \sin \varphi_{i2} - l_3 \sin \varphi_{i3} \\ y_c &= h = d\gamma + (l_1 \cos \varphi_{i1} + l_2 \cos \varphi_{i2} + l_3 \cos \varphi_{i3}) \times \\ &\quad \times (\cos \varphi_{i0} - \gamma \sin \varphi_{i0}) \end{aligned} \quad (2.1)$$

$$z_c = 0 = d - b - (l_1 \cos \varphi_{i1} + l_2 \cos \varphi_{i2} + l_3 \cos \varphi_{i3}) (\sin \varphi_{i0} + \gamma \cos \varphi_{i0})$$

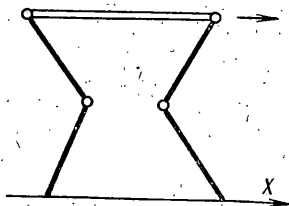
Здесь x_c, y_c, z_c берутся на сервосвязях (1.1), γ определяется по (1.4) или (1.7) с начальными условиями (1.5) или (1.8).

Система трех уравнений (2.1) не определена относительно четырех неизвестных φ_{ij} ($j=0, 1, 2, 3$). Доопределим ее по данным эксперимента с животными на подвижной дорожке — тредбане, который проводился в Институте зоологии им. И. И. Шмальгаузена АН УССР⁴ [6].

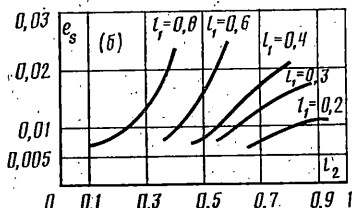
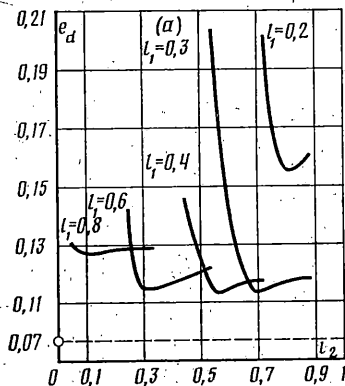
⁴ См. указ. публ. с. 60 Коток В. С.



Фиг. 2



Фиг. 3



Фиг. 4

При анализе механограмм было принято предположение о параллельности позвоночника опорной плоскости. Анализ показал, что время t_0 опорной фазы передней конечности может быть разбито на четыре временных интервала: $[0, t_1]$, протяженностью менее 10% от t_0 . На этом интервале среднее звено движется поступательно в своей плоскости. Движение здесь доопределяется условием $\varphi_{12}'=0$; $[t_1, t_2]$, протяженностью 30–80% от t_0 . На этом интервале угол между верхним и нижним звеном не меняется $\varphi_{11}'=\varphi_{13}'$; $[t_2, t_3]$, протяженностью 10–50% от t_0 . На этом интервале не меняется угол между двумя нижними звеньями $\varphi_{12}'=\varphi_{13}'$; $[t_3, t_0]$, протяженностью менее 10% от t_0 , для которого $\varphi_{11}'=0$.

Для задней конечности выявляются следующие интервалы: $[0, t_1]$, протяженностью 20–50% от t_0 , для которого $\varphi_{11}'=0$; $[t_1, t_2]$, протяженностью 30–80% от t_0 , для которого $\varphi_{11}'=\varphi_{13}'$; $[t_2, t_0]$, протяженностью 0–50% от t_0 , для которого $\varphi_{12}'=0$.

Продифференцируем (2.1), дополним одним из доопределяющих условий и разрешим относительно φ_{ij}' . В зависимости от способа доопределения получим следующие выражения:

$$\varphi_{i0}' = -\gamma' [1 - (-1)^i d \sin \varphi_{i0} / (l_1 \cos \varphi_{i1} + l_2 \cos \varphi_{i2} + l_3 \cos \varphi_{i3})] \quad (i=1, 2, 3, 4) \quad (2.2)$$

Для $\varphi_{12}'=0$:

$$\varphi_{11}' = (\pm d\gamma' \cos \varphi_{10} \cos \varphi_{13} + v \sin \varphi_{13}) / [l_1 \sin(\varphi_{11} - \varphi_{13})] \quad (2.3)$$

$$\varphi_{13}' = (\mp d\gamma' \cos \varphi_{10} \cos \varphi_{11} + v \sin \varphi_{11}) / [l_3 \sin(\varphi_{13} - \varphi_{11})]$$

Для $\varphi_{11}'=\varphi_{13}'$:

$$\varphi_{11}' = \varphi_{13}' = (v \sin \varphi_{12} \mp d\gamma' \cos \varphi_{10} \cos \varphi_{12}) / [l_1 \sin(\varphi_{11} - \varphi_{12}) + l_3 \sin(\varphi_{13} - \varphi_{12})] \quad (2.4)$$

$$\varphi_{12}' = [-v(l_1 \sin \varphi_{11} + l_3 \sin \varphi_{13}) \pm d\gamma' \cos \varphi_{10} (l_1 \cos \varphi_{11} + l_3 \cos \varphi_{13})] / [l_2 (l_1 \sin(\varphi_{11} - \varphi_{12}) + l_3 \sin(\varphi_{13} - \varphi_{12}))]$$

Для $\varphi_{12}' = \varphi_{13}'$:

$$\varphi_{12}' = \varphi_{13}' = (v \sin \varphi_{i1} \mp d\gamma' \cos \varphi_{i0} \cos \varphi_{i1}) / [l_2 \sin(\varphi_{i2} - \varphi_{i1}) + l_3 \sin(\varphi_{i3} - \varphi_{i1})] \quad (2.5)$$

$$\varphi_{i1}' = [-v(l_2 \sin \varphi_{i2} + l_3 \sin \varphi_{i3}) \pm d\gamma' \cos \varphi_{i0} (l_2 \cos \varphi_{i2} + l_3 \cos \varphi_{i3})] / [l_1(l_2 \sin(\varphi_{i2} - \varphi_{i1}) + l_3 \sin(\varphi_{i3} - \varphi_{i1}))]$$

Для $\varphi_{i1}' = 0$:

$$\varphi_{12}' = (\mp d\gamma' \cos \varphi_{i0} \cos \varphi_{i3} + v \sin \varphi_{i3}) / [l_2 \sin(\varphi_{i2} - \varphi_{i3})] \quad (2.6)$$

$$\varphi_{13}' = (\mp d\gamma' \cos \varphi_{i0} \cos \varphi_{i2} + v \sin \varphi_{i2}) / [l_3 \sin(\varphi_{i3} - \varphi_{i2})]$$

В (2.3)–(2.6) верхний знак при иномодии соответствует ногам с индексами $i=1, 3$, при рыси – ноге с $i=1$; нижний знак отвечает при движении рысью ноге с $i=4$.

Для каждого варианта доопределения и для каждой ноги получается система дифференциальных уравнений по φ_{ij} вида (2.2)–(2.6). Начальные условия по $\varphi_{i1}, \varphi_{i2}, \varphi_{i3}$ задают начальную конфигурацию трехзвенной ноги в ее плоскости. Соотношения (1.4), (1.5), (1.9) для иномодии и (1.7), (1.8), (1.10) для рыси совокупно с уравнениями (1.14); (2.2)–(2.6) образуют замкнутую систему соотношений, позволяющую проводить оценку энергозатрат.

Поставленная задача многопараметрична. При численном анализе часть параметров фиксировалась: $d=0,5$, $b=0,5$, $h=0,8$, $s=0,6$, $v=2,2$. Варьировались относительные длины звеньев ног l_1, l_2, l_3 ; начальные условия по φ_{ij} определяющие конфигурацию ноги; параметры t_1, t_2, t_3 кинематического доопределения.

3. Численное моделирование. Конфигурация трехзвенной ноги определяется углом $\varphi_{i1}(0)$ в момент начала опоры и величиной $\text{sign}(\varphi_{i2} - \varphi_{i3})$. При $\text{sign}(\varphi_{i2} - \varphi_{i3}) = 1$ нога имеет изгиб нижнего сустава вперед, а при $\text{sign}(\varphi_{i2} - \varphi_{i3}) = -1$ – назад. При счете величина $\varphi_{i1}(0)$ варьировалась в диапазоне $-50^\circ - 70^\circ$ с шагом 5° .

Анализ результатов счета на ЭВМ показал, что энергетически предпочтительными конфигурациями ног являются конфигурации, изображенные на фиг. 2. В момент начала опоры передней ноги угол φ_{i1} должен находиться в пределах $-15^\circ - -45^\circ$, нижний сустав в течение всей опорной фазы изогнут вперед. В момент начала опоры задней ноги φ_{i1} должен находиться в пределах $30^\circ - 60^\circ$, нижний сустав в течение всей опорной фазы изогнут назад. Такая конфигурация уменьшает e_s до 50%, а e_d – до 100% по сравнению с другими конфигурациями, когда нижний сустав изогнут противоположным образом (фиг. 2), а $\varphi_{i1}(0)$ принимает любые значения из взятого диапазона.

Уменьшение функционалов e_s и e_d происходит за счет уменьшения величин моментов (1.9), (1.10). В свою очередь, это объясняется уменьшением плеч вертикальных опорных реакций относительно шарниров при перемещении в течение шага центра тяжести C от задних ног к передним.

Заметим, что подобную конфигурацию ног имеют животные с латерально расположенной плоскостью ног [4–6].

Полученный результат справедлив, как показал счет, при любых соотношениях длин звеньев l_1, l_2, l_3 и параметров t_1, t_2, t_3 . Поэтому при последующем варьировании параметров l_i и t_i конфигурация ног бралась такой, как на фиг. 2.

При варьировании параметров t_i диапазоны их изменения брались в соответствии с [6]. Шаг изменения параметров выбирался таким, чтобы каждый диапазон содержал несколько точек. Численный счет показал, что значения t_i , минимизирующие энергозатраты, зависят от величин l_i и $\varphi_{i1}(0)$. Поэтому при последующем варьировании $l_i, \varphi_{i1}(0)$ для каждого набора этих величин проводилась оптимизация e_d и e_s по t_i . Такая оптимизация дает для e_d выигрыш до 100%, для e_s – до 20% по отношению к худшему сочетанию параметров t_i в рассматриваемом диапазоне.

При варьировании l_i общая длина ноги должна обеспечивать возможность постановки ноги в заданную опорную точку. Кроме того, не допускается вырождение, при котором суставы выпрямляются: угол $|\varphi_{i2} - \varphi_{i3}|$ удерживается в пределах $100 - 140^\circ$, длина среднего звена l_2 не обращается в ноль. Допускается обращение в ноль величин l_1, l_3 , что дает разные конфигурации двухзвенных ног. Варьирование l_i производится с шагом 0,05.

Параметрическая оптимизация e_d по l_1, l_2, l_3 показала, что динамический функционал принимает минимальные значения при $l_1=0,35, l_2=0,35, l_3=0,4$ для передних ног и при $l_1=0,35, l_2=0,4, l_3=0,3$ для задних ног.

Оптимизация статического функционала показала, что величина e_s монотонно уменьшается с уменьшением l_3 . В пределе это приводит к модели двухзвенной ноги.

Двухзвенная модель кинематически определена. При этом отпадает необходимость оптимизации по l_i . Вычисления для нее проводились в силу уравнений (1.4), (1.5), (1.9) для иноходь и (1.7), (1.8), (1.10) для рыси совокупно с (1.14), (2.1), где либо $l_1=0$, либо $l_3=0$.

Варьировались все возможные конфигурации передних и задних ног. Счет показал, что оптимальной и для e_d , и для e_s является конфигурация, изображенная на фиг. 3. При этом достигается выигрыш по сравнению с другими конфигурациями для e_d — до 25%, для e_s — до 10–20%. Видно, что конфигурация фиг. 3 получается из фиг. 2 предельным переходом $l_3 \rightarrow 0$, что для e_s уже оговаривалось.

Результаты параметрической оптимизации по l_1, l_2 двухзвенной модели (фиг. 3) приведены для движения иноходью на фиг. 4. Для движения рысью результаты качественно не отличаются. На фиг. 4, а штриховкой обозначено минимальное значение e_d , полученное выше при оптимизации трехзвенной ноги. Из фиг. 4, б следует, что величина e_s уменьшается с общим выпрямлением и укорочением ноги.

Сделаем выводы: добавление третьего звена позволяет уменьшить величину e_d до 40% при движении иноходью и до 30% при движении рысью по сравнению с минимальным по l_1, l_2 значением e_d для двухзвенной ноги. При оптимальных для e_d значениях l_1, l_2, l_3 функционал e_s увеличивается на 10–25% по сравнению с двухзвенным случаем, оптимизированным по l_1, l_2 . Уменьшить величину e_s для трехзвенной ноги по сравнению с двухзвенным случаем не удастся.

В п. 1 был сделан вывод о преобладании в суммарных энергозатратах (1.13) динамической части e_d при движении модели аппарата с размерами, характерными для мелких животных, и о преобладании статической части e_s — для крупных.

Сравним результаты численного счета с данными сравнительно-анатомического анализа конечностей наземных позвоночных [5, 6]. У косули как представителя мелких быстробегающих животных соотношение длин сегментов, начиная с верхнего, для передних ног равно 30:35,5:44,5, а для задних ног — 30,1:38,1:31,8. У слона для обеих ног — 1:0,6:0,13.

Видно, что результаты анализа энергозатрат, от l_1, l_2, l_3 качественно согласуются с данными биометрии. Минимизация e_d происходит при длинах l_i , характерных для косули, а уменьшение e_s происходит при относительном укорочении нижнего звена и общем выпрямлении ноги, что характерно для слона.

СПИСОК ЛИТЕРАТУРЫ

1. Белецкий В. В. Двухногая ходьба. Модельные задачи динамики и управления. М.: Наука, 1984. 286 с.
2. Белецкий В. В., Лавровский Э. К. Модельная задача двухногой ходьбы // Изв. АН СССР. МТТ. 1981. № 2. С. 156–165.
3. Калинин В. В. О выборе походки четырехногого шагающего аппарата // Изв. АН СССР. МТТ. 1980. № 2. С. 51–58.
4. Гамбарян П. П. Бег млекопитающих. Л.: Наука, 1972. 334 с.
5. Gray J. Animal locomotion. L.: Weidenfeld, 1968. 479 p.
6. Манзий С. Ф., Мороз В. Ф. Морфо-функциональный анализ грудных конечностей млекопитающих. Киев: Наук. думка, 1978. 134 с.
7. Зацепин М. Ф., Новожилов И. В. Управление адлорами четырехногой ходьбы // Изв. АН СССР. МТТ. 1986. № 5. С. 60–66.
8. Новожилов И. В. Управление пространственным движением двухногой шагающего аппарата // Изв. АН СССР. МТТ. 1984. № 4. С. 47–53.
9. Паншина А. В. Разделение движений в динамике четырехногого шагающего аппарата // Науч. тр. Моск. энергет. ин-та. 1985. № 77. С. 68–75.
10. Вологин Ю. В., Новожилов И. В. Управление походкой двухногой шагающего аппарата // Изв. АН СССР. МТТ. 1977. № 3. С. 47–52.

Москва

Поступила в редакцию
22. II. 1989